



項として無視している。また微小変形理論では  $\cos\theta = (x_i - x_i)/l$ ,  $\sin\theta = (y_i - y_i)/l$ ,  $l^2 = \{(x_i - x_i)^2 + (y_i - y_i)^2\}$  と表わされるが有限変位理論では  $\theta$  を一定と考え、格点の変位を考慮して  $\cos\theta = \{(x_i + u_i) - (x_i + u_i)\}/l$ ,  $\sin\theta = \{(y_i + v_i) - (y_i + v_i)\}/l$ ,  $l^2 = \{(x_i + u_i) - (x_i + u_i)\}^2 + \{(y_i + v_i) - (y_i + v_i)\}^2$  とおける。こゝらの式は変形後の状態を考慮したものである。こゝらの式を材端力と外力とのつり合い条件式に代入すると、高次の非線形式になって解析的に求めることはできない。したがってまず微小変形理論で求めた変形の位置においてつり合い方程式を組み立てなおす。このような操作を繰り返して、つり合い方程式のずれがなくなるまで、逐次修正を行なうなければならない。

3. 解析例

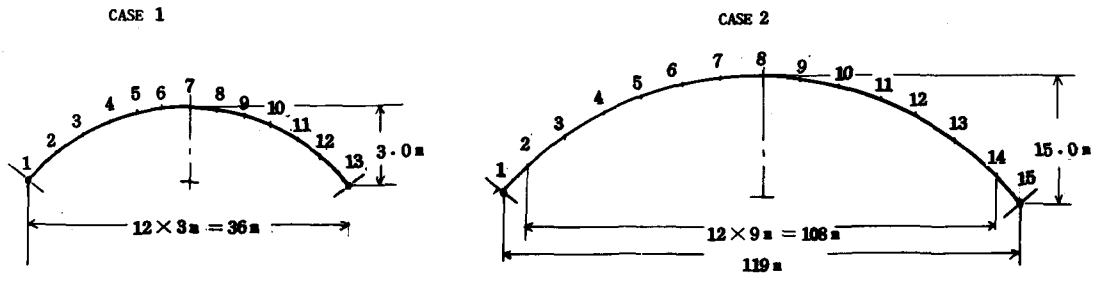


図-2

DISPLACEMENT CASE 1							DISPLACEMENT CASE 2						
NO.	TU	TV	TSLOPE	TU	TV	TSLOPE	NO.	TU	TV	TSLOPE	TU	TV	TSLOPE
1	0.0	0.0	-0.1506E-02	0.0	0.0		1	0.0	0.0	-0.1141E-01	0.0	0.0	
2	0.7466E-03	-0.4698E-02	-0.1481E-02	0.7591E-03	-0.4756E-02	-0.1497E-02	2	-0.9997E-02	-0.8963E-01	-0.1386E-01	0.9858E-01	-0.2832E+00	-0.2676E-01
3	0.1184E-02	-0.9175E-02	-0.1378E-02	0.1201E-02	-0.9270E-02	-0.1386E-02	3	-0.4074E-02	-0.2967E+00	-0.2738E-01	0.6648E-01	-0.3377E+00	0.1497E-01
4	0.1288E-02	-0.1314E-01	-0.1164E-02	0.1303E-02	-0.1325E-01	-0.1167E-02	4	0.3744E-01	-0.6419E+00	-0.4319E-01	0.1848E-05	-0.3525E+00	-0.5795E-06
5	0.1073E-02	-0.1626E-01	-0.8449E-03	0.1083E-02	-0.1638E-01	-0.8443E-03	5	0.8109E-01	-0.1085E+01	-0.4933E-01	0.1570E-05	-0.3525E+00	0.2072E-06
6	0.6058E-03	-0.1827E-01	-0.4450E-03	0.6108E-03	-0.1838E-01	-0.4440E-03	6	0.9241E-01	-0.1520E+01	-0.4241E-01	0.8229E-06	-0.3526E+00	0.1013E-06
7	-0.1311E-06	-0.1896E-01	-0.7707E-07	-0.1163E-07	-0.1907E-01	-0.2717E-08	7	0.6069E-01	-0.1834E+01	-0.2433E-01	-0.1491E-06	-0.3525E+00	0.6150E-06
8	-0.6061E-03	-0.1827E-01	0.4449E-03	-0.6109E-03	-0.1838E-01	0.4440E-03	8	0.7474E-04	-0.1949E+01	0.1198E-04	0.3581E-08	-0.3525E+00	-0.1548E-08
9	-0.1073E-02	-0.1626E-01	0.8449E-03	-0.1083E-02	-0.1638E-01	0.8443E-03	9	-0.6053E-01	-0.1834E+01	0.2455E-01	0.1524E-06	-0.3525E+00	-0.6225E-06
10	-0.1288E-02	-0.1314E-01	0.1164E-02	-0.1303E-02	-0.1325E-01	0.1167E-02	10	-0.9223E-01	-0.1520E+01	0.4245E-01	-0.8236E-06	-0.3526E+00	-0.1096E-06
11	-0.1184E-02	-0.9176E-02	0.1378E-02	-0.1201E-02	-0.9271E-02	0.1386E-02	11	-0.8088E-01	-0.1085E+00	0.4934E-01	-0.1570E-05	-0.3525E+00	-0.2150E-06
12	-0.7466E-03	-0.4699E-02	0.1481E-02	-0.7591E-03	-0.4757E-02	0.1497E-02	12	-0.3724E-01	-0.6415E+00	0.4317E-01	-0.1884E-05	-0.3525E+00	0.5721E-06
13	0.0	0.0	0.1507E-02	0.0	0.0		13	0.4226E-02	-0.2964E+00	0.2736E-01	-0.4648E-01	-0.3377E+00	-0.1497E-01
							14	0.1007E-01	-0.8949E-01	0.1384E-01	-0.9858E-01	-0.2832E+00	0.2676E-01
							15	0.0	0.0	0.1139E-01	0.0	0.0	

図-2のようにCASE 1は支間長 = 36m のアーチ、CASE 2は支間長 = 119m のアーチとする。  
 荷重はCASE 1の場合  $A = 0.04 \text{ m}^2$ ,  $I = 0.005 \text{ m}^4$ ,  $E = 2.1 \times 10^6 \text{ t/m}^2$ , 各格点に10tの荷重が下向きにCASE 2の場合  $A = 0.00865 \text{ m}^2$ ,  $I = 0.00364 \text{ m}^4$ ,  $E = 2.1 \times 10^7 \text{ t/m}^2$ , 同様に100tかかっている。  
 CASE 1及びCASE 2をそれぞれ微小変形理論と有限変形理論とで解いた。表で見ると、微小変形理論で解いた変位は有限変位理論で解いた変位より小さい。故にアーチの設計計算をする時、微小変形理論を用いた場合、変位や曲げモーメントが実際より小さく計算され、この値を使って設計された断面を用いると危険な場合が生じる。実際の変位や応力の値に近づけるためには、有限変形理論を用いなければならない。又CASE 1とCASE 2の支点反力、軸力、断面力、材端モーメントの値も比較する必要があるが、結果は、講演時に報告する。  
 (参考文献) 小堀為雄・吉田博「有限要素法による構造解析プログラム」(丸善出版社) 前田幸雄・林正・中村守「増分法による平面骨組構造物の大変形解析の加速計算法」土木学会論文報告集第223号 1974年3月  
 堀井健一郎・斎藤進・川原睦人・森繁「骨組構造解析」土木学会論文報告集第197号 1971年7月